

# Fondamenti del Modello Standard

10/05/2009

giovedì 8 ottobre 2009

1

1

# fondamenti fenomenologici del modello standard (BJ 11.5-11.7)

teoria di Fermi + violazione della parità  $\rightarrow$  V-A

corrente leptonica  $M_{fi} = \frac{G_F}{\sqrt{2}} [\bar{u}_\nu \gamma^\mu (1 - \gamma^5) u_\mu] [\bar{u}_e \gamma_\mu (1 - \gamma^5) u_\nu]$

corrente semileptonica  $M_{fi} = \frac{G_F}{\sqrt{2}} [\bar{u}_p \gamma^\mu (C_V + C_A \gamma^5) u_n] [\bar{u}_e \gamma_\mu (1 - \gamma^5) u_\nu]$

sperimentalmente risulta

$$C_V \approx 0.98, \text{ CVC} \rightarrow C_V = 1$$

$$C_A = -1.25 \rightarrow \text{PCAC}$$

# teoria di Cabibbo

decadimenti deboli delle particelle strane

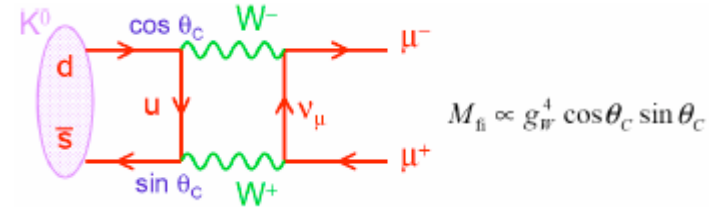
la corrente adronica con  $\Delta S=0$  è 20 volte  
più intensa della corrente adronica con  $\Delta S=1$

$$q_L = \begin{pmatrix} u \\ d' \end{pmatrix} = \begin{pmatrix} u \\ d \cos \vartheta_c + s \sin \vartheta_c \end{pmatrix} \text{ con } \vartheta_c \approx 13^\circ$$

oltre a spiegare la forte soppressione per  $\Delta S = 1$  ( $\sim \sin \theta_c$ )  
spiega anche la piccola differenza da 1 di  $C_V$  ( $\sim \cos \theta_c$ )

# meccanismo di GIM

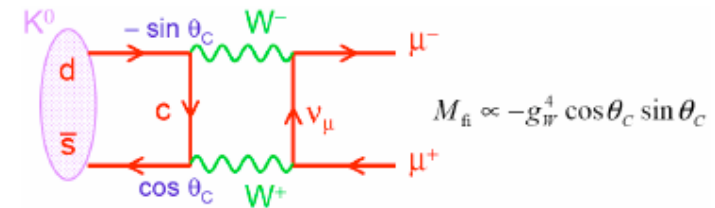
assenza delle correnti neutre  
con cambiamento di stranezza



soppressione del decadimento  
ipotesi di un secondo doppietto

$$K_L^0 \rightarrow \mu^+ \mu^-$$

$$\begin{pmatrix} c \\ s' \end{pmatrix} = \begin{pmatrix} c \\ s \cos \vartheta_c - d \sin \vartheta_c \end{pmatrix}$$



per cui gli autostati di corrente debole  
sono ruotati rispetto agli autostati forti secondo:

$$\begin{pmatrix} d' \\ s' \end{pmatrix} = \begin{pmatrix} \cos \vartheta_c & \sin \vartheta_c \\ -\sin \vartheta_c & \cos \vartheta_c \end{pmatrix} \begin{pmatrix} d \\ s \end{pmatrix}$$

(dal debole effetto osservato,  $7 \cdot 10^{-7}$ , stima della massa del c, 1-3 GeV)

# estensione a tre famiglie

matrice di Cabibbo-Kobayashi-Maskawa

$$\begin{pmatrix} d' \\ s' \\ b' \end{pmatrix} = \begin{pmatrix} V_{ud} & V_{us} & V_{ub} \\ V_{cd} & V_{cs} & V_{cb} \\ V_{td} & V_{ts} & V_{tb} \end{pmatrix} \begin{pmatrix} d \\ s \\ b \end{pmatrix}$$

anticipiamo che tre è il numero minimo di famiglie per avere nella matrice unitaria di mescolamento una fase complessa (BJ 14.3.10) (e quindi un meccanismo di violazione di CP motivazione originaria di KM, prima della scoperta del charm)

# unità naturali

$$1 \text{ eV} = 1.602 \cdot 10^{-19} \text{ J}, \quad 1 \text{ GeV} = 1.602 \cdot 10^{-10} \text{ J}, \quad 1 \text{ J} = 6.242 \cdot 10^9 \text{ GeV}$$

$$\hbar/2\pi = 1.055 \cdot 10^{-34} \text{ J s} = 6.583 \cdot 10^{-25} \text{ GeV s}$$

$$\hbar/2\pi = 1 \Rightarrow 1 \text{ s} = (6.583 \cdot 10^{-25} \text{ GeV})^{-1} = 1.519 \cdot 10^{24} \text{ GeV}^{-1}$$

$$\hbar/2\pi c = 6.8 \cdot 10^{-25} \text{ GeV s} \cdot 3 \cdot 10^8 \text{ m/s} = 0.2 \cdot 10^{15} \text{ GeV m} = 0.2 \text{ GeV fm}$$

$$\hbar/2\pi c = 1 \Rightarrow 1 \text{ fm} = 5.068 \text{ GeV}^{-1}$$

$$\Rightarrow 1 \text{ m} = 5.068 \cdot 10^{15} \text{ GeV}^{-1}$$

$$\alpha = \frac{e^2}{4\pi\epsilon_0\hbar c} = \frac{(1.602 \times 10^{-19})^2}{4\pi \cdot 8.854 \times 10^{-12} \cdot 1.055 \times 10^{-34} \cdot 2.998 \times 10^8} = 0.730 \times 10^{-2} = \frac{1}{137}$$

in unità naturali  $c = \sqrt{\epsilon_0\mu_0} = 1 \Rightarrow \epsilon_0 = \mu_0 = 1$  (Heaviside - Lorentz)

$$\alpha = \frac{e^2}{4\pi} = \frac{1}{137}$$

# esercizio: dimensioni di G

(funzione d'onda)<sup>2</sup> = densità di probabilità:  $[\bar{\psi}\psi] = [l^{-3}] = [E^3]$

Lagrangiana di Fermi:  $L = \int G \bar{\psi}\psi\bar{\psi}\psi d^3x$   $[L] = [E]$

Densità di lagrangiana:  $[G\bar{\psi}\psi\bar{\psi}\psi] = [Gl^{-6}] = [GE^6]$

$$[L] = \left[ \int G \bar{\psi}\psi\bar{\psi}\psi d^3x \right] = [Gl^{-3}] = [GE^3]$$

In unità naturali  $[GE^3] = [E] \Rightarrow [G] = [E^{-2}]$   $G = 1.166 \cdot 10^{-5} \text{ GeV}^{-2} =$   
 $\cong \frac{10^{-5}}{0.857 \text{ GeV}^2} = \frac{10^{-5}}{(0.926 \text{ GeV})^2} \approx \frac{10^{-5}}{M_p^2}$

In unità SI  $[Gl^{-3}] = [E] \Rightarrow [G] = [El^3]$

$$G = 1.166 \cdot 10^{-5} \text{ GeV} \text{ GeV}^{-3} = 1.166 \cdot 10^{-5} \cdot 1.602 \cdot 10^{-10} \text{ J} (5.068 \cdot 10^{15})^{-3} \text{ m}^3 = 1.4355 \cdot 10^{-62} \text{ Jm}^3$$

# divergenza delle sez. d'urto di neutrino

confrontando gli elementi di matrice dell'interazione e.m. con quelli di Fermi, vediamo che differiscono per il termine del propagatore, che porta un contributo  $1/q^2$

$$M_{fi} = e^2 [\bar{u}_e \gamma^\mu u_e] \left( -\frac{1}{q^2} \right) [\bar{u}_e \gamma_\mu u_e] \quad M_{fi} = \frac{G_F}{\sqrt{2}} [\bar{u}_\nu \gamma^\mu (1 - \gamma^5) u_\mu] [\bar{u}_e \gamma_\mu (1 - \gamma^5) u_\nu]$$

con un semplice calcolo dimensionale troviamo  $\sigma_\nu \propto G_F^2 s$

mentre il calcolo completo dà  $\sigma[\nu_\mu e^- \rightarrow \nu_e \mu^-] = \frac{G_F^2 s}{\pi}$

effettivamente le sezioni d'urto dei neutrini sono proporzionali a  $s$

la unitarietà della matrice di transizione pone però un limite alle sez. d'urto

$$\sigma_{\nu_\mu e} \leq \frac{2\pi}{s} \Rightarrow s \leq \frac{\sqrt{2}\pi}{G_F} \approx (600 \text{ GeV})^2$$

# limiti unitari sulle sez. d'urto

Matrice  $S$  di scattering  $S = I + iT$ ,  $T = i(I - S)$

$S^+ S = 1$  la somma delle probabilità di tutti gli stati finali deve essere 1

$S$  diagonale in  $E, L, m$ , etc., non diagonale sulle possibili particelle iniziali e finali.

$$S \equiv \begin{pmatrix} S_\alpha & 0 & 0 & \cdot \\ 0 & S_{\alpha''} & 0 & \cdot \\ 0 & 0 & S_{\alpha'''} & \cdot \\ \cdot & \cdot & \cdot & \cdot \end{pmatrix}$$

Se si considera un solo stato iniziale e finale,

$$S_\alpha = e^{2i\delta_\alpha}$$

$$t_\alpha = i(1 - S_\alpha) = i(1 - e^{2i\delta_\alpha}) = i(1 - (e^{i\delta_\alpha})^2) =$$

$$= i(1 - (\cos^2 \delta_\alpha - \sin^2 \delta_\alpha + 2i \sin \delta_\alpha \cos \delta_\alpha)) = i(2 \sin^2 \delta_\alpha - 2i \sin \delta_\alpha \cos \delta_\alpha) = 2 \sin \delta_\alpha e^{i\delta_\alpha}$$

$|t_\alpha|^2 < 4$  limite unitario delle ampiezze di transizione

Sviluppo in armoniche sferiche, scattering di due particelle senza spin

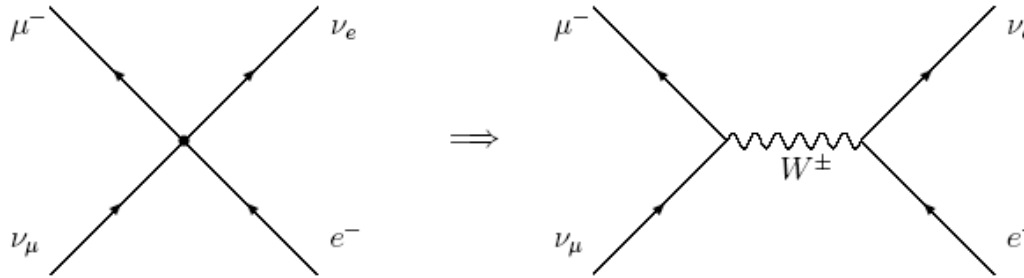
$$\sigma = \frac{\pi}{k^2} \sum_L (2L+1) |t_L|^2 \leq \frac{4\pi}{k^2} \sum_L (2L+1)$$

Scattering elastico di due particelle di spin 1/2 in onda  $s$

$$\sigma \leq \frac{\pi}{2k^2} = \frac{2\pi}{s} \quad \sigma_{\nu_\mu e} = \frac{G_F^2 s}{\pi} \leq \frac{2\pi}{s} \Rightarrow s \leq \frac{\sqrt{2}\pi}{G_F}$$

# il bosone intermedio

la soluzione è l'introduzione di un bosone intermedio pesante



l'elemento di matrice diventa allora

$$M_{fi} = \left[ \frac{g}{2\sqrt{2}} \bar{u}_\nu \gamma^\mu (1 - \gamma^5) u_\mu \right] \frac{1}{M_W^2 - q^2} \left[ \frac{g}{2\sqrt{2}} \bar{u}_e \gamma_\mu (1 - \gamma^5) u_\nu \right]$$

per  $s \rightarrow 0$  ( $q^2 \ll M_W^2$ ) dobbiamo ritrovare l'espressione alla Fermi,

per cui abbiamo la relazione  $\frac{G_F}{\sqrt{2}} = \frac{g^2}{8M_W^2}$

che per  $M_W \approx 100$  GeV rende  $g$  dello stesso ordine di  $e$

$$e^2 = \frac{4\pi}{137} \approx 0.1 \quad g^2 = \frac{8}{\sqrt{2}} \left( \frac{M_W}{M_p} \right)^2 10^{-5} \approx 0.6$$

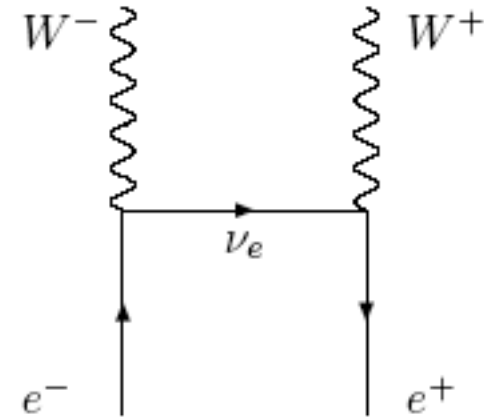
# ma... compaiono altre divergenze

produzione di coppie di W  
nell'annichilazione  $e^+e^-$   
cresce linearmente con l'energia  
per W polarizzati longitudinalmente

nel caso del fotone, la massa nulla  
impedisce la polarizzazione longitudinale.

Solo tre grafici divergenti, carica e self-energia di elettrone  
e fotone: tre costanti di rinormalizzazione.

Nessun contributo dai loop interni (MS cap. 9)

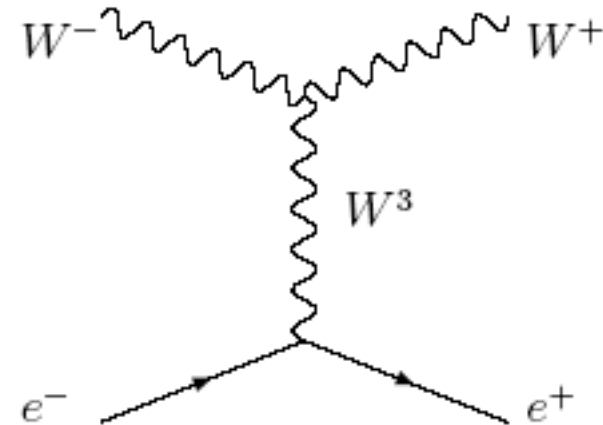


Propagatore del  
bosone intermedio

$$D_{\mu\nu} = -\frac{g_{\mu\nu} - k_\mu k_\nu / m^2}{k^2 - m^2} \Rightarrow \frac{\Lambda^2}{m_w^2}$$

la divergenza può essere cancellata se esiste un partner neutro di un tripletto

$$W^\pm = (W^1 \mp iW^2)/\sqrt{2} \quad \text{e} \quad W^3$$

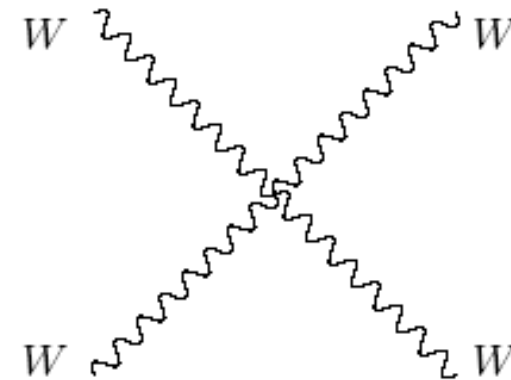
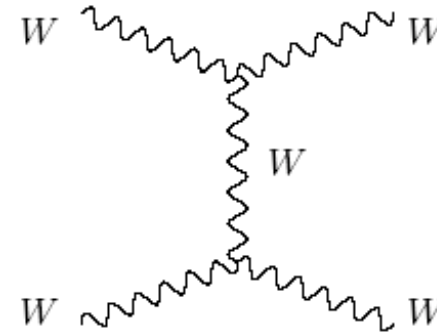


naturalmente, perché la cancellazione funzioni, gli accoppiamenti tra  $W$  e leptoni e il triplo vertice bosonico devono essere quelli giusti

# ancora divergenze...

la presenza del vertice  
trilineare implica la possibilità  
dello scattering quasi elastico  
 $WW \rightarrow WW$

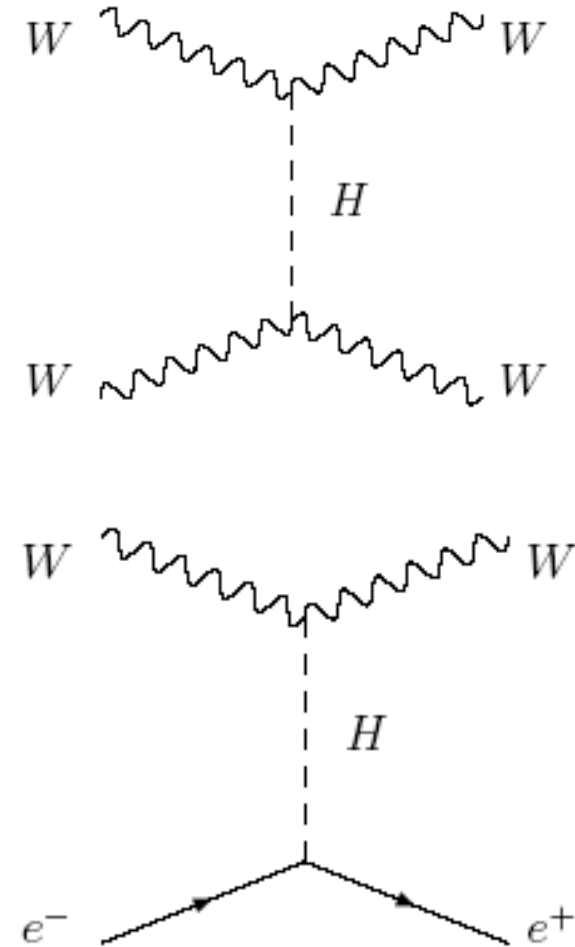
ad alta energia, l'ampiezza cresce  
come il quadrato di  $s$ .  
un vertice quadrilineare, del  
secondo ordine in  $g$  cancella  
questa dipendenza principale  
rimane però un termine dipendente  
da  $s$  e proporzionale  
alla massa del  $W$



# il bosone di Higgs

la divergenza residua richiederebbe  
l'introduzione di interazioni forti  
tra i  $W$  ad alta energia (technicolor)  
oppure  
l'introduzione di una particella scalare  
il cui accoppiamento al  $W$  sia  $gM_W$

Si noti che anche nello scattering  $ee \rightarrow WW$   
e analogamente  $ff \rightarrow WW$   
l'introduzione di  $W^3$  cancella esattamente  
la parte vettoriale della corrente, mentre  
la parte assiale ha ancora una parte  
proporzionale a  $m_f \sqrt{s}$   
il bosone di Higgs cancella anche questa  
divergenza residua, sempre che il suo  
accoppiamento all'elettrone sia  $gm_f$



# ingredienti di una teoria delle interazioni deboli

In conclusione, una formulazione delle interazioni deboli consistente a tutte le energie richiede l'introduzione di 3 bosoni vettori dotati di massa e di un campo scalare con accoppiamento alle altre particelle proporzionale alle loro masse